高分解能RBS/ERDAによる 半導体材料表面の結晶性および組成分布評価 Technical Report

イオンビームをプローブとした分析手法の中で、ラザフォード後方散乱法 (RBS: Rutherford backscattering spectroscopy)は、物質の表面 から数μm程度の領域の元素組成分布や原子配列の決定に広くもちいら れてきた。特に半導体デバイスの薄膜の組成分布、注入イオン分布やこれに 付随する結晶性の評価、および金属/半導体界面反応などの分析に威力を 発揮している1)。一般的なRBSは1~2MeV程度のHeイオンを試料に照 射して、散乱したイオンのエネルギースペクトルを取得する測定手法であ り、10nm程度の深さ分解能で定量性の良い元素分析をおこなうことがで きる。しかしながら、近年、半導体デバイスの微細化とともに極薄膜化が進 んでおり、サブnmの深さ分解能が要求されるようになってきている。その ため従来のRBSでは深さ分解能が不十分となっていた。この課題に対して



物理解析センター 解析部 表面・構造解析室 光原 圭

物理解析センター 解析部 表面・構造解析室 渡邉 紘貴

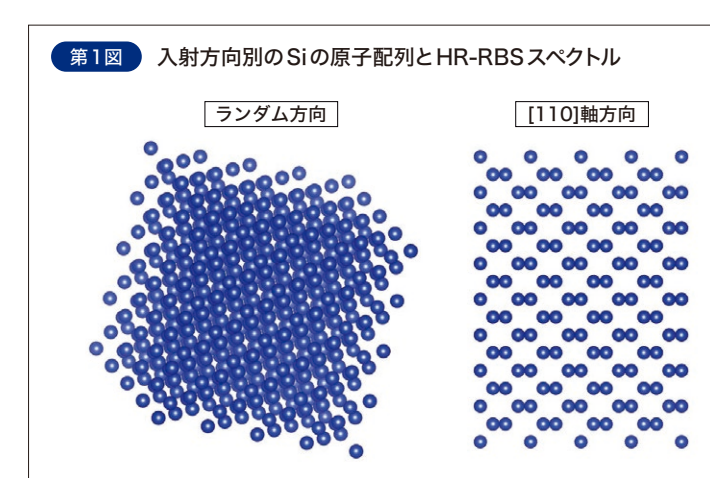
当社では、(株)神戸製鋼所と京都大学によって開発された高分解能RBS装置を導入し、最高0.2nmの深さ分解能で極薄膜の組 成分布や表面近傍の結晶性を評価してきたむ。また、入射イオンによって反跳されたイオンをエネルギー分析する弾性反跳法 (ERDA: Elastic recoil detection analysis)を組み合わせることで、検出の難しいHの分布も決定することができるため、最 表面におけるより詳細な極薄膜の組成分布評価が可能である。

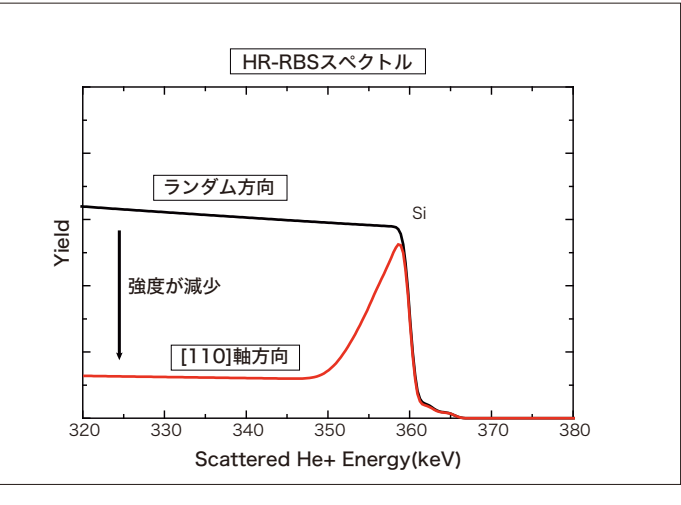
本稿では半導体材料を題材に、高分解能RBS/ERDA(HR-RBS/HR-ERDA)によりイオン注入をおこなった単結晶基板の注 入イオン分布および結晶性を評価した事例と、極薄膜の組成分布を評価した事例、さらに加熱しながらの高分解能ERDA(加熱 HR-ERDA) によりHを測定する新たに開発した分析技術を紹介する。

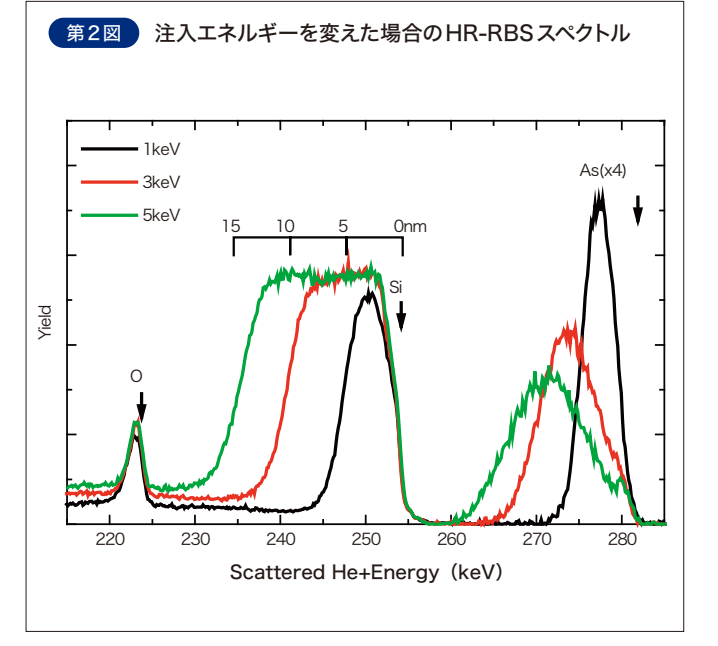
C-1 Asイオン注入によるSi基板表面の結晶性およびAsイオン分布の評価

HR-RBSでは、結晶軸に沿ってイオンを入射するチャネリン グ法をもちいることで、単結晶表面付近の原子配列の乱れや注 入イオンの分布を詳細に決定することができる。第1図にSi (100)表面に対してランダムな方向と[110]軸方向から見た場 合の原子配列を示す。Heイオンをランダム方向から入射した場 合、深部のSi原子からも散乱されるため、スペクトルでは低エネ ルギー側に幅を持ったブロードなピークとして検出される。一 方、結晶軸に沿ってHeイオンを入射すると、表面のSi原子が 背後のSi原子を隠すため、深部のSi原子からの散乱確率が減

少する。そのため、スペクトルでは深部からの散乱成分に対応す る低エネルギー側の強度が減少し、シャープなピークとして検 出されることとなる。この散乱確率の減少は原子配列が揃って いるほど大きくなるため、散乱確率の減少の程度から単結晶試 料について深さ方向の結晶性の評価が可能となる。本章では、 Asイオンを注入したSi基板に対する注入エネルギーや注入後 の加熱処理温度によるAsの分布およびSi基板の結晶性の変 化を評価した事例を紹介する。





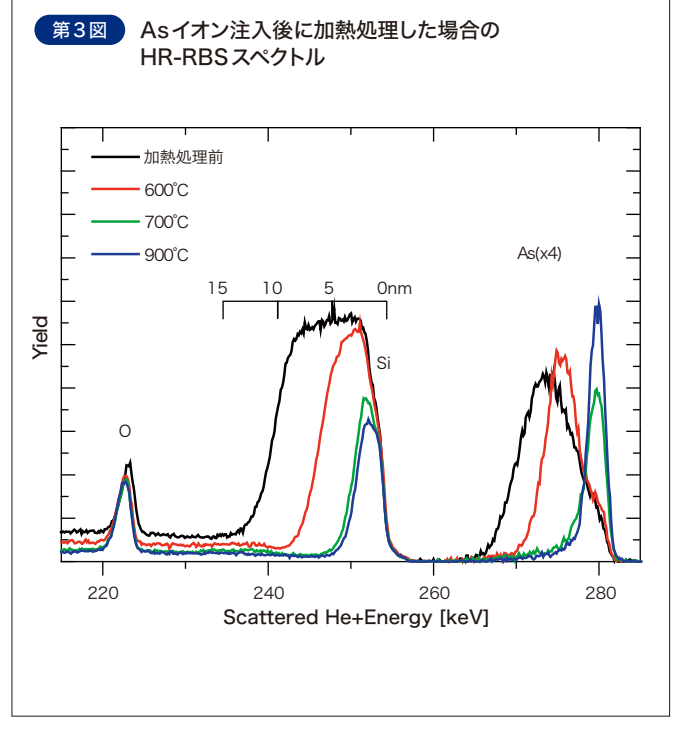


第2図は1×10¹⁵ atoms/cm²相当のAsイオンをそれぞれ 1keV、3keV、5keVのエネルギーで注入したSi(100)単結晶 基板をチャネリング法によって測定したHR-RBSスペクトルを 示している。スペクトルの各ピークは、高エネルギー側からそれ ぞれAs、Si、Oからの散乱成分に対応する。As ピークに着目す ると、1keVで注入した試料では、280keV付近にシャープな ピークとして検出されている。一方、注入エネルギーの増加にと もないピーク位置が低エネルギー側へシフトし、スペクトル形状 も徐々にブロードな形状に変化する傾向が認められる。試料深 部からの散乱成分がピークの低エネルギー側に対応することか ら、注入エネルギーが 1keV の場合では試料表面付近に As が 分布しているのに対して、注入エネルギーが増加すると試料深 部にまでAsが分布していることがわかる。次にSi基板の結晶 性を評価するためSiピークに注目する。注入エネルギーが lkeVの場合では、主に表面付近のSiからの散乱によるシャー プなピーク形状であるのに対し、注入エネルギーの増加にとも ない試料深部からの散乱成分が増加し、低エネルギー側に幅 を持った形状へ変化している。各スペクトルは同じ結晶軸にHe イオンを入射しており、原子配列が同じであるため、このスペク トルの変化から注入エネルギーの増加にともないSiの原子配 列の乱れが深部にまで広がっていくことがわかる。第1表にSi の原子配列が乱れている厚さを解析した結果を示す。注入エネ ルギーの増加にともない原子配列の乱れている領域が増加し ており、スペクトル形状の変化と対応した結果となっている。

次に1×1015 atoms/cm²相当のAsイオンを注入したSi

Asイオン注入による Siの原子配列が乱れている厚さの解析結果

注入エネルギー [keV]	原子配列の 乱れている領域 [nm]
1	5.5
3	10.3
5	14.7

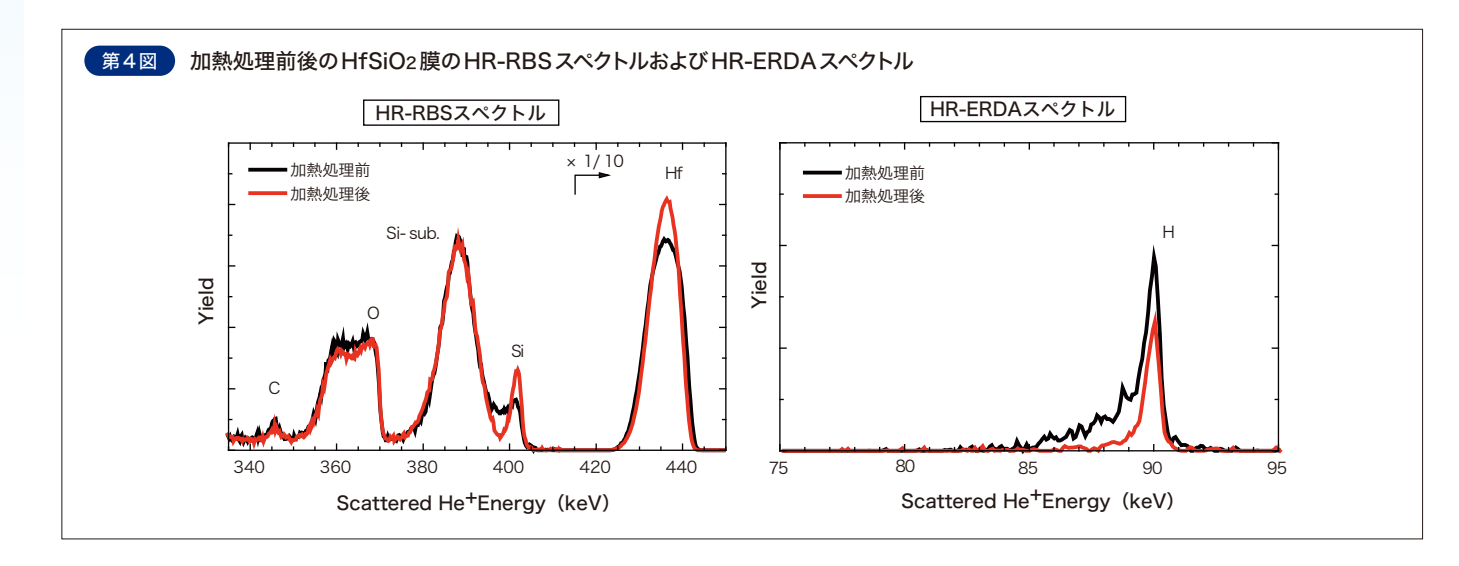


基板に加熱処理をおこなったときのAsイオン分布と結晶性の 変化を分析した。第3図にAsイオンを3keVのエネルギーで注 入したSi(100)単結晶基板に対して、それぞれ 600° 、 700° 、 900℃で加熱処理をおこなった試料のHR-RBSスペクトルを 示す。加熱処理温度が上昇するにしたがって、Asピークは高エ ネルギー側へシフトしシャープなピーク形状へ変化している。ま たSiピークにおいても、加熱処理温度の上昇にともない低エネ ルギー側の散乱成分が減少する傾向が認められる。これらの各 ピークの形状変化から、加熱処理の温度が上昇するとAsが表 面側へ移動し、Si基板の表面付近の原子配列の乱れが回復し ていることがわかる。

このようにHR-RBS分析から単結晶基板の表面近傍の結晶 性や注入イオンの深さ分布の変化を詳細に把握することが可 能である。

C-2 HR-RBS/HR-ERDA によるHfSiO₂ 膜の組成分布評価

CMOSトランジスタのゲート絶縁膜に使用されるHigh-k膜の 特性は、膜の組成や深さ方向分布が大きく影響を及ぼす。近年 の極薄膜化の進展によってこれらの分析には高い深さ分解能が 求められているが、このような極薄膜試料の組成分布評価に対し てもHR-RBS/HR-ERDAは有効な手法として威力を発揮する。 そこで本章では極薄膜のHfSiO2膜を題材として、加熱処理によ る組成分布の変化をHR-RBS/HR-ERDAで分析した事例を紹

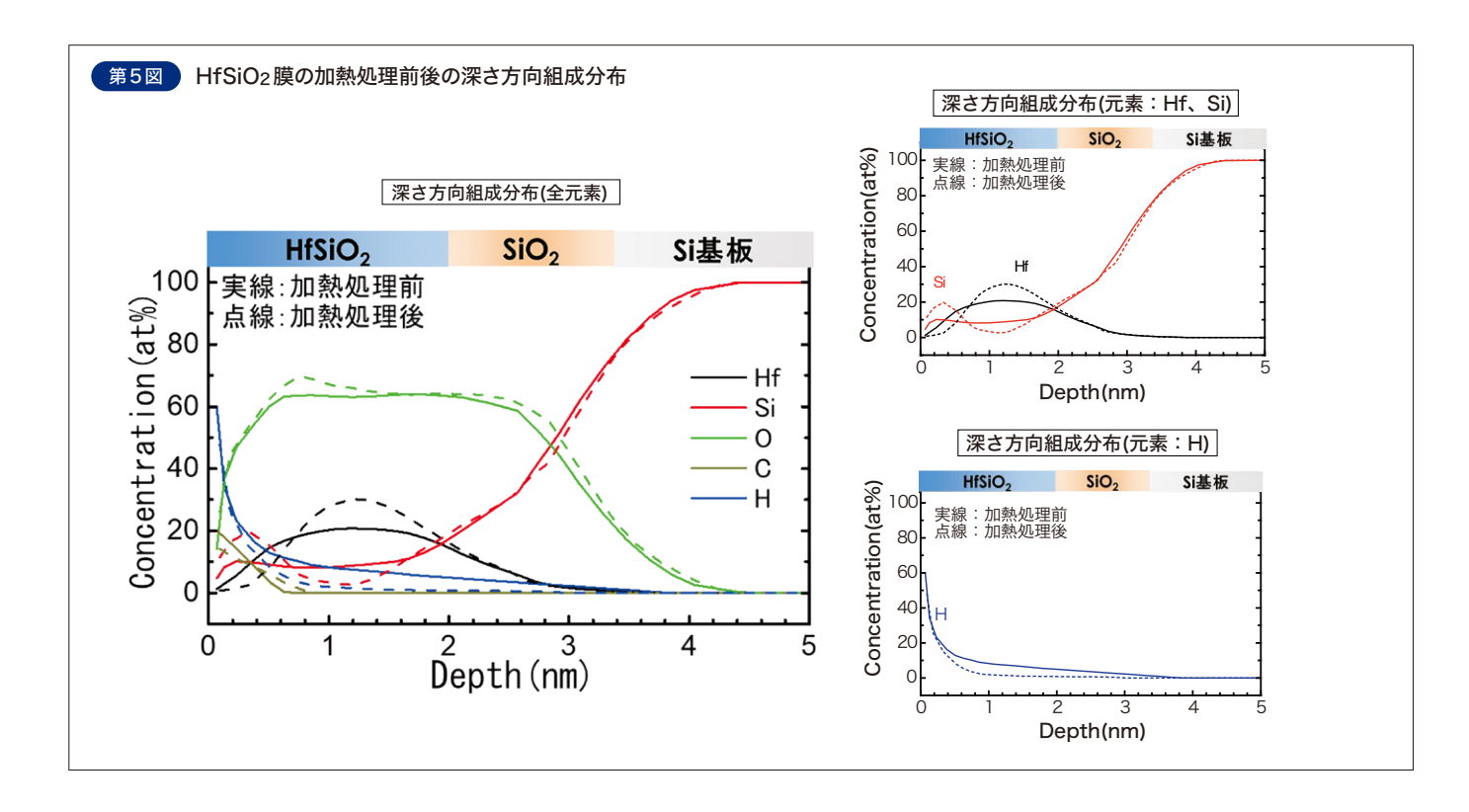


第4図にHfSiO₂(膜厚:2nm)/SiO₂(膜厚:1nm)/Si基板の 加熱処理前と加熱処理後のHR-RBSおよびHR-ERDAスペクト ルを示す。HR-RBSスペクトルの各ピークは高エネルギー側から それぞれHf、Si、O、Cから散乱された成分に対応する。また、Si ピークのうち高エネルギー側のピークはHfSiO2膜中のSiからの 散乱成分であり、低エネルギー側のピークは基板のSiからの散 乱成分である。Hfピークと膜中のSiピークに注目すると、各ピー クのスペクトル形状が加熱処理後ではシャープな形状へ変化し ており、加熱処理によって主にHfとSiの組成分布が変化してい ることが示唆される。

次にHR-ERDAスペクトルに着目する。HR-ERDAスペクトル もHR-RBSスペクトルと同様に、低エネルギー側の成分は試料 深部から反跳されたHイオンに対応している。加熱処理前後の スペクトルともに90keV付近にシャープなピークが検出されてい る。このピーク位置は試料最表面からの反跳成分であり、大気搬 送によって付着した水分や有機汚染物由来の成分と同定するこ

とができる。表面ピークの低エネルギー側の領域に注目すると、 加熱処理前の試料では低エネルギー側に向かってなだらかに強 度が減少しているのに対し、加熱処理後の試料ではほとんど検 出されていない。この結果から、加熱処理によって膜中のHが減 少していることがわかる。得られたHR-RBS/HR-ERDAスペクト ルの解析によって算出した加熱処理前後の深さ方向組成分布を 第5図に示す。加熱処理前では膜中のHfとSiの分布がブロード であり、膜全体に分散しているのに対して、加熱処理後では表面 側からSi、Hfの順で二層の酸化物層が形成されているような分 布へ変化している。またHの分布に着目すると、加熱処理前では 膜中の深部までHが分布しているが、加熱処理によって膜中の Hが大幅に減少しているのがわかる。

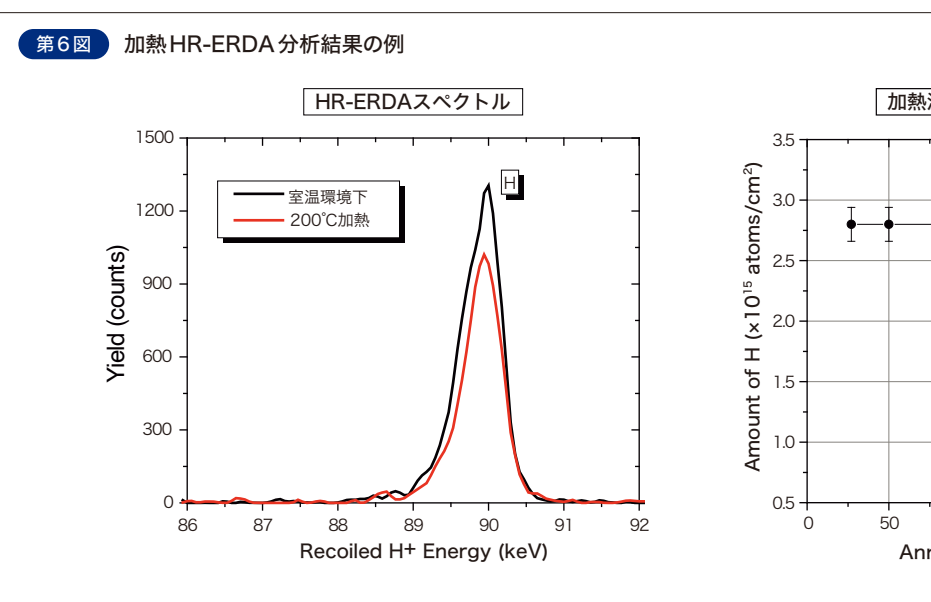
以上のように、数nm程度の極薄膜試料であっても、 HR-RBS/HR-ERDAをもちいることでHの分布も併せて詳細に 組成分布の変化を分析することが可能である。

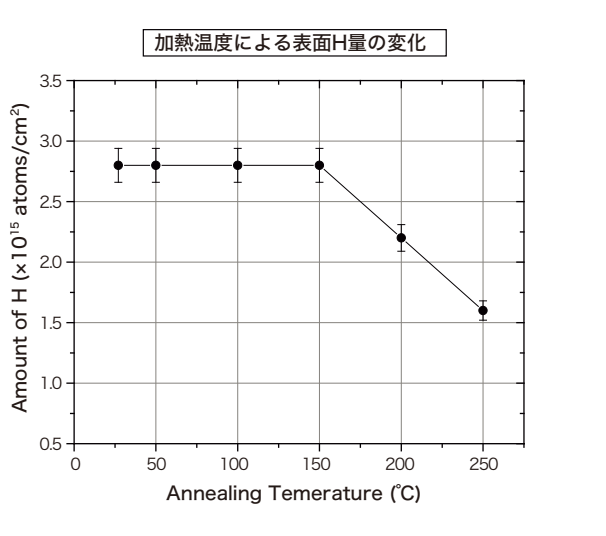


C-3 加熱 HR-ERDA による試料最表面のHの定量評価

近年、半導体技術の高機能化にともないシリコンCMOSデバ イスの微細化が進められており、3次元的に縦方向にデバイスを 接続する3次元集積実装技術が注目されている。積層構造の形 成工程ではウエハ同士を貼り合わせる必要があり、この密着性 がデバイスの性能に大きく依存する。ウエハ同士の密着性には各 接合面に形成されたOH基が強く寄与していることが知られてお り、ウエハ最表面に存在しているOH基の定量技術が求められて いる。表面OH基の検出手法として、OH基に対して選択的化学 修飾をおこなった後にX線光電子分光法(XPS)や飛行時間型 二次イオン質量分析法(TOF-SIMS)をおこなう方法が候補とし て挙げられるが、これらはいずれも定量性が低い。一方、 HR-ERDAは定量性に優れているという特徴を有しているため、 最表面のOH基の定量に対して有力な分析手法として期待でき る。しかし、試料を大気環境下に晒すと表面に有機汚染物や水 分が付着してしまい、これら吸着物由来のHもHR-ERDA分析 では検出されてしまう。そのため、有機汚染物由来のHと試料表 面に本来存在しているH(-OH)の分離ができないことが最大の 課題となっている。

一方、真空中で200℃に試料を加熱すると物理吸着した有機 汚染物や水分が除去されることが報告されており3、そのような 状態でHR-ERDA 測定をおこなうことができれば最表面に本来 存在しているHの定量が可能となる。そこで、既存の高分解能 RBS装置に加熱機構を取り付け、真空中で加熱しながら HR-ERDA分析を行う手法を開発した。フッ酸処理をおこなった Si 基板を室温環境下で測定した場合と200℃で加熱しながら 測定した場合のHR-ERDAスペクトルを第6図に示す。その結果 から、200℃で加熱しながら測定したスペクトルの強度が室温環 境下で測定したときより減少しているのがわかる。また、試料の加 熱温度を変化させたときのH量を調べてみると、加熱温度が 150℃までは表面のH量に変化がみられないが、200℃に温度 を上昇させると表面H量が減少する傾向が認められる。この傾 向は先行研究3の報告とも一致していることから、本手法によっ て表面に吸着した有機汚染物や吸着水の影響が抑制されてい ることがわかる。現在も継続して加熱HR-ERDA分析の高度化 を進めているが、先行して室温から200℃までの任意の温度で の加熱 HR-ERDA 分析をメニュー化している。





本稿では半導体材料を題材として、HR-RBS/HR-ERDAによる極薄膜の組成分布や表面近傍の結晶性、および注入イオン分布をサ ブnmの深さ分解能で定量性よく評価できることを紹介した。また、新たに開発した加熱HR-ERDA分析が最表面のHの定量に有効な 手法であることを示した。近年、SiCやGaNなどの次世代パワー半導体の開発も活発に行われており、これらの材料評価としても HR-RBS/HR-ERDAは威力を発揮すると考えられる。今後ますます半導体デバイスの開発が加速することが予想される中、さらなる技 術の高度化に取り組み、エレクトロニクス業界の発展に貢献する所存である。

参考文献 *1) D. S. Germell: Rev. Mod. Phys., Vol. 46(1974), p. 129.

- *2) 森芳一ほか: R&D神戸製鋼技報, Vol. 52(2002)No.2, p. 53
- *3) Y. Yamamoto et. al.: J. Non-Cryst. Solids., Vol. 499(2018), p. 408.